

Equazione del moto con vela

$$\frac{\partial H}{\partial x} = - \frac{1}{g} \frac{\partial U}{\partial t} - j$$

Equazione di conservazione

$$\frac{\partial P_{-2}}{\partial t} + \frac{\partial P_2}{\partial x} = 0$$

Per un moto stazionario:

$$\begin{cases} \frac{\partial H}{\partial x} = - j \\ \frac{\partial Q}{\partial x} = 0 \Rightarrow Q = \text{cost} \end{cases}$$

L'equazione dei profili

Ricordiamo che $H = E + M$. Differenziamo rispetto a x come nelle prime equazioni del sistema:

$$\frac{\partial H}{\partial x} = \frac{\partial E}{\partial x} + \frac{\partial M}{\partial x} = - j \Rightarrow \frac{\partial E}{\partial x} = - \frac{\partial M}{\partial x} - j = \eta_p - j$$

In cui j , essendo il moto uniforme, $\frac{\partial^2}{\partial x^2} = [C^2 - R^2] \eta_p = \eta_u$ e usando $\frac{E}{P} = \frac{V^2}{C^2}$, è:

$$j = \frac{\eta_p}{\rho g R} = \frac{V^2}{C^2 g R} = \frac{Q^2}{C^2 - R^2 g R} = \eta_p$$

Nel caso di alveo cilindrico tutte le sezioni hanno la stessa forma ed E è funzione delle sole profondità:

$$E = E[\eta(x)] \Rightarrow \frac{\partial E}{\partial x} = \frac{\partial E}{\partial \eta} \cdot \frac{\partial \eta}{\partial x} = \eta_p - j$$

$$\Rightarrow \frac{\partial \eta}{\partial x} = \frac{\eta_p - j}{\partial E / \partial \eta} \Big|_{Q=\text{cost}}$$

Abbiamo tre limiti dell'equazione (notazione y al posto di η):

- $y \rightarrow y_u \Rightarrow j \rightarrow \eta_p \Rightarrow \frac{\partial \eta}{\partial x} \rightarrow 0 \parallel \text{fondo};$
- $y \rightarrow y_c \Rightarrow \frac{\partial E}{\partial \eta} \Big|_Q \rightarrow 0 \Rightarrow \frac{\partial \eta}{\partial x} \rightarrow \infty \perp \text{fondo};$
- $y \rightarrow \infty \Rightarrow j \rightarrow 0 \Rightarrow \frac{\partial \eta}{\partial x} \xrightarrow{\eta_p \rightarrow 0} \frac{\eta_p}{\partial E / \partial \eta} \rightarrow \eta_p \text{ orizzontale}$

infatti, in quest'ultimo caso, si trova, come del fatto che:

$$E = Y + \frac{Q^2}{2gR^2} \Rightarrow \frac{\partial E}{\partial \eta} = 1 + \frac{-2R^{-3}}{Q^2 b} \xrightarrow[0 \text{ per } \eta \rightarrow \infty]{\eta_p \rightarrow 0}$$

Profili di rotazione: formule veloci per $\omega_f + \omega_c, \dot{\varphi} \geq 0$.
Per un albero di forma qualunque:

$$\begin{cases} \frac{\Omega}{\sqrt{g \omega_f}} = [C \omega + \sqrt{R}]_{\varphi=\varphi_u} \\ \frac{\Omega^2}{g} = \left[\frac{\Omega^3}{b} \right]_{\varphi=\varphi_c} \end{cases}$$

Per $\omega_f > 0$, $\omega_f + \omega_c$ esprimiamo $\frac{\partial \dot{\varphi}}{\partial \kappa} = \frac{\omega_f - \dot{\varphi}}{\partial E / \partial \dot{\varphi}} \Big|_Q$:

$$\omega_f - \dot{\varphi} = \omega_f \left(1 - \frac{1}{\omega_f} \right) \quad \dot{\varphi} = \frac{\omega_0}{\rho g R} = \frac{V^2}{g e^2 R} = \frac{\Omega^2}{C^2 \omega^2 g R}$$

$$\Rightarrow \omega_f - \dot{\varphi} = \omega_f \left(1 - \frac{\Omega^2}{g \omega_f C^2 \omega^2 R} \right)$$

Ricordando che $\left(\frac{\Omega}{\sqrt{g \omega_f}} \right)^2 = \frac{\Omega^2}{g \omega_f} = [C^2 \omega^2 R]_{\varphi=\varphi_u}$:

$$\omega_f - \dot{\varphi} = \omega_f \left(1 - \frac{g \dot{\varphi} [C^2 \omega^2 R]_{\varphi=\varphi_u}}{g \dot{\varphi} C^2 \omega^2 R} \right) = \omega_f \left(1 - \frac{[C^2 \omega^2 R]_{\varphi=\varphi_u}}{C^2 \omega^2 R} \right)$$

$$\text{Inoltre } E = \dot{\varphi} + \frac{V^2}{z g} = \dot{\varphi} + \frac{\Omega^2}{2 g \omega^2} :$$

$$\begin{aligned} \frac{\partial E}{\partial \dot{\varphi}} \Big|_Q &= 1 + \frac{\Omega^2}{2 g} \cdot \frac{\partial}{\partial \dot{\varphi}} \left[\frac{1}{\omega^2} \right] = 1 + \frac{\Omega^2}{2 g} \left(2 \omega^{-3} \frac{\partial \omega}{\partial \dot{\varphi}} \right) = \\ &= 1 - \frac{\omega^2 b}{g \omega^3} = 1 - \frac{[-\omega^3/b]_{\varphi=\varphi_c}}{-\omega^3/b} \end{aligned}$$

Quindi:

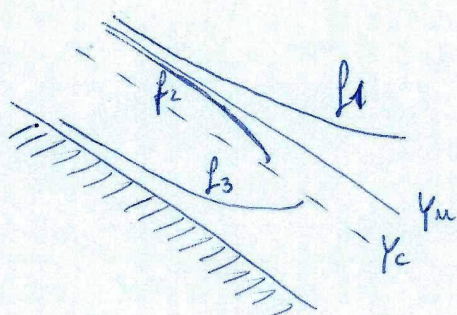
$$\frac{\partial \dot{\varphi}}{\partial \kappa} = \omega_f \frac{\left(1 - \frac{[C^2 \omega^2 R]_{\varphi=\varphi_u}}{C^2 \omega^2 R} \right)}{\left(1 - \frac{[-\omega^3/b]_{\varphi=\varphi_c}}{-\omega^3/b} \right)}$$

Profili di rugosità: alveo fluviale e alveo torrentizio

Così come si risolve l'equazione?

$$\frac{\partial Y}{\partial x} = \eta_f \left(\frac{1 - \frac{[C^2 R^2 K]_{Y=Y_u}}{C^2 R^2 K}}{(1 - \frac{[R^3/b]_{Y=Y_c}}{R^3/b})} \right)$$

1) Alveo fluviale: $\eta_f < i_c$, $Y_u > Y_c$ ($\eta_f > 0$, $\eta_f \neq i_c$)



I caso: $Y_c < Y_u < Y$ (f_1)

$$\Rightarrow N > 0 \quad D > 0 \Rightarrow \frac{\partial Y}{\partial x} > 0 \quad (\text{lenta})$$

\Rightarrow le profondità crescono andando verso valle

II caso: $Y_c < Y < Y_u$ (f_2)

$$\Rightarrow N < 0 \quad D > 0 \Rightarrow \frac{\partial Y}{\partial x} < 0 \quad (\text{lenta})$$

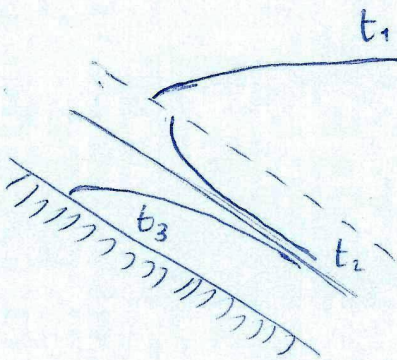
\Rightarrow le profondità decrescono andando verso valle

III caso: $Y < Y_c < Y_u$ (f_3)

$$\Rightarrow N < 0 \quad D < 0 \Rightarrow \frac{\partial Y}{\partial x} > 0 \quad (\text{veloce})$$

\Rightarrow le profondità crescono andando verso valle. Unico caso di corrente veloce per alveo fluviale.

2) Alveo torrentizio: $\eta_f > i_c$, $Y_u < Y_c$ ($\eta_f > 0$, $\eta_f \neq i_c$)



I caso: $Y_u < Y_c < Y$ (t_1)

$$\Rightarrow N > 0 \quad D > 0 \Rightarrow \frac{\partial Y}{\partial x} > 0 \quad (\text{veloce})$$

II caso: $Y_u < Y < Y_c$ (t_2)

$$\Rightarrow N > 0 \quad D < 0 \Rightarrow \frac{\partial Y}{\partial x} < 0 \quad (\text{veloce})$$

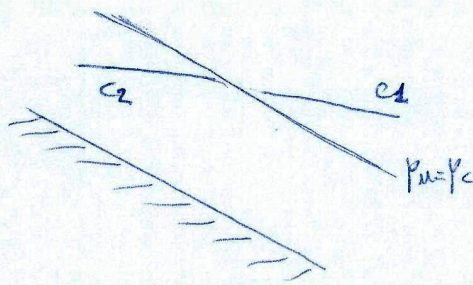
III caso: $Y < Y_u < Y_c$ (t_3)

$$\Rightarrow N < 0 \quad D < 0 \Rightarrow \frac{\partial Y}{\partial x} > 0 \quad (\text{lenta})$$

Profili di rugosità: alveo cubico, alveo ondulante, alveo acclive

Ecco altri casi:

3) Alveo cubico: $\alpha_f = \alpha_c$, $\gamma_u = \gamma_c$:



I caso: $\gamma_c = \gamma_u < \gamma$ (c_1):

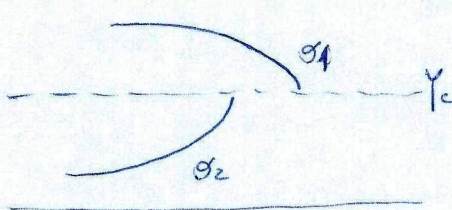
$$\Rightarrow N > 0 \quad D > 0 \Rightarrow \frac{\partial Y}{\partial x} > 0$$

II caso: $\gamma < \gamma_u = \gamma_c$ (c_2):

$$\Rightarrow N > 0 \quad D < 0 \Rightarrow \frac{\partial Y}{\partial x} > 0$$

Abbiamo ancora a fuoco l'equazione usata per gli alvei boronabili visto che $\gamma \neq \gamma_u = \gamma_c$.

4) Alveo ondulante: $\alpha_f = 0$ ($\gamma_u \rightarrow \infty$):



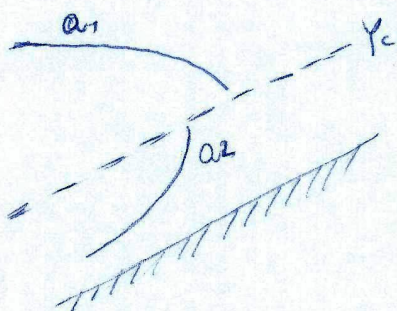
I caso: $\gamma > \gamma_c$ (Θ_1):

$$\Rightarrow D > 0 \Rightarrow \frac{\partial Y}{\partial x} < 0 \quad [N < 0]$$

II caso: $\gamma < \gamma_c$ (Θ_2) [sempre]

$$\Rightarrow D < 0 \Rightarrow \frac{\partial Y}{\partial x} > 0$$

5) Alveo acclive: $\alpha_f < 0$ (γ_u priva di significato):



$$\frac{\partial Y}{\partial x} = \frac{\alpha_f - f}{\left(1 - \frac{[\alpha^3/b]}{-\alpha^3/b} \gamma = \gamma_c\right)}$$

I caso: $\gamma > \gamma_c$ (a_1):

$$\Rightarrow D > 0 \Rightarrow \frac{\partial Y}{\partial x} < 0$$

II caso: $\gamma < \gamma_c$ (a_2):

$$\Rightarrow D < 0 \Rightarrow \frac{\partial Y}{\partial x} > 0$$